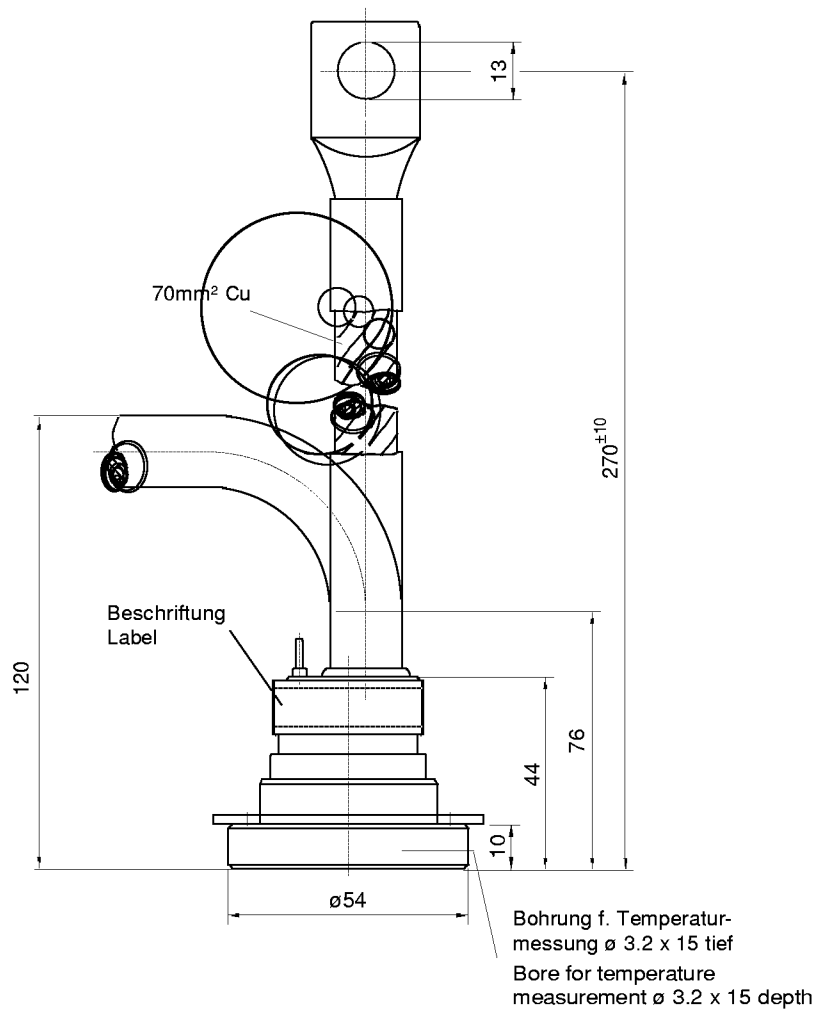




European Power-
Semiconductor and
Electronics Company
GmbH + Co. KG

Leistungsgleichrichterdioden Power Rectifier Diodes D 452 K



Typ Type	Schalsymbol Circuit symbol	Kathode Cathode	Anode Anode	Schutzschlauch Prot. flex. tubing
D452N		Seil Rope	Gewinde Thread	rot red
D452K		Gewinde Thread	Seil Rope	blau blue

D 452 K

Elektrische Eigenschaften						
Electrical properties						
Höchstzulässige Werte		Maximum rated values				
Periodische Spitzenperrspannung	repetitive peak reverse voltage	$t_{vj} = -40^{\circ}\text{C} \dots t_{vj\max}$	V_{RRM}	800, 1200	V	
Stoßspitzenperrspannung	non-repetitive peak reverse voltage	$t_{vj} = +25^{\circ}\text{C} \dots t_{vj\max}$	$V_{RSM} = V_{RRM}$	+ 100	V	
Durchlaßstrom-Grenzeffektivwert	RMS forward current		I_{FRMSM}	710	A	
Dauergrenzstrom	mean forward current	$t_c = 130^{\circ}\text{C}$	I_{FAVM}	450	A	
Stoßstrom-Grenzwert	surge forward current	$t_{vj} = 25^{\circ}\text{C}, t_p = 10 \text{ ms}$ $t_{vj} = t_{vj\max}, t_p = 10 \text{ ms}$	I_{FSM}	13,5	kA	
Grenzlastintegral	$I^2 t$ -value	$t_{vj} = 25^{\circ}\text{C}, t_p = 10 \text{ ms}$ $t_{vj} = t_{vj\max}, t_p = 10 \text{ ms}$	$I^2 t$	10,8	kA	
				911,25	$\text{kA}^2 \text{s}$	
				583,2	$\text{kA}^2 \text{s}$	
Charakteristische Werte		Characteristic values				
Durchlaßspannung	on-state voltage	$t_{vj} = t_{vj\max}, i_F = 1,35 \text{ kA}$	V_T	max.	1,48	V
Schleusenspannung	threshold voltage	$t_{vj} = t_{vj\max}$	$V_{T(TO)}$		0,77	V
Ersatzwiderstand	slope resistance	$t_{vj} = t_{vj\max}$	r_T		0,48	$\text{m}\Omega$
Sperrstrom	reverse current	$t_{vj} = t_{vj\max}, V_R = V_{RRM}$	i_R	max.	50	mA
Thermische Eigenschaften		Thermal properties				
Innerer Widerstand	thermal resistance, junction to case	$\Theta = 180^{\circ} \text{ sin DC}$	R_{thJC}	max.	0,0855	$^{\circ}\text{C/W}$
Übergangs-Wärmewiderstand	thermal resistance, case to heatsink	ohne Anschlußblasche/without contact lug mit Anschlußblasche/with contact lug	R_{thCK}	max.	0,016	$^{\circ}\text{C/W}$
Höchstzul.Sperrsichttemperatur	max. junction temperature	$t_{vj\max}$			180	$^{\circ}\text{C}$
Betriebstemperatur	operating temperature	$t_{c\text{ op}}$			-40...+180	$^{\circ}\text{C}$
Lagertemperatur	storage temperature	t_{stg}			-40...+180	$^{\circ}\text{C}$
Mechanische Eigenschaften		Mechanical properties				
Si-Element mit Druckkontakt	Si-pellet with pressure contact					
Anzugsdrehmoment	tightening torque	Gehäuseform/case design E	F		5,5	kN
Gewicht	weight		G	typ.	560	g
Kriechstrecke	creepage distance				14	mm
Feuchtekategorie	humidity classification	DIN 40040				C
Schwingfestigkeit	vibration resistance	f = 50 Hz			50	m/s^2
Maßbild	outline					Seite/page
Polarität	polarity					Kathode=Gehäuse/case

D452K

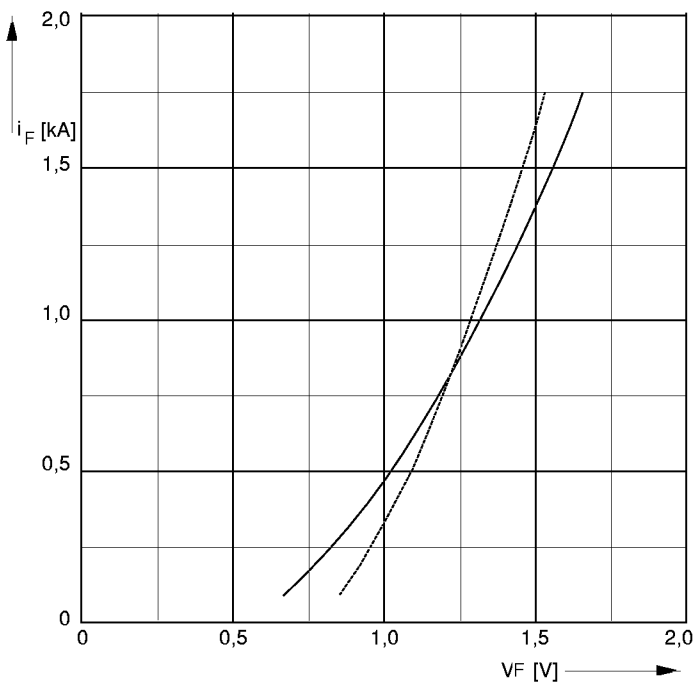


Bild / Fig. 1
Grenzdurchlaßkennlinie
Limiting forward characteristic $i_F = f(V_F)$

— $t_j = 0^\circ\text{C}$
— $t_j = 25^\circ\text{C}$

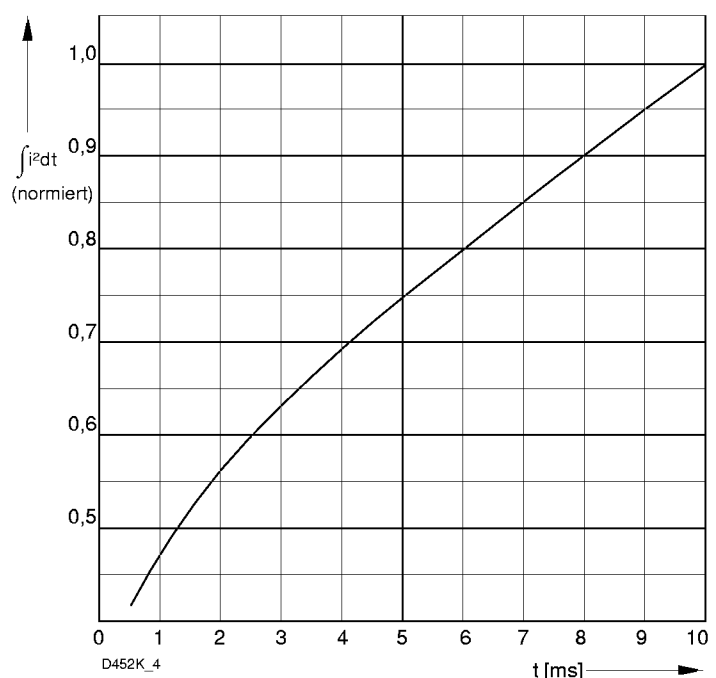


Bild / Fig. 2
Normiertes Grenzlastintegral / Normalized i^2t
 $\int i^2 dt = f(t_p)$

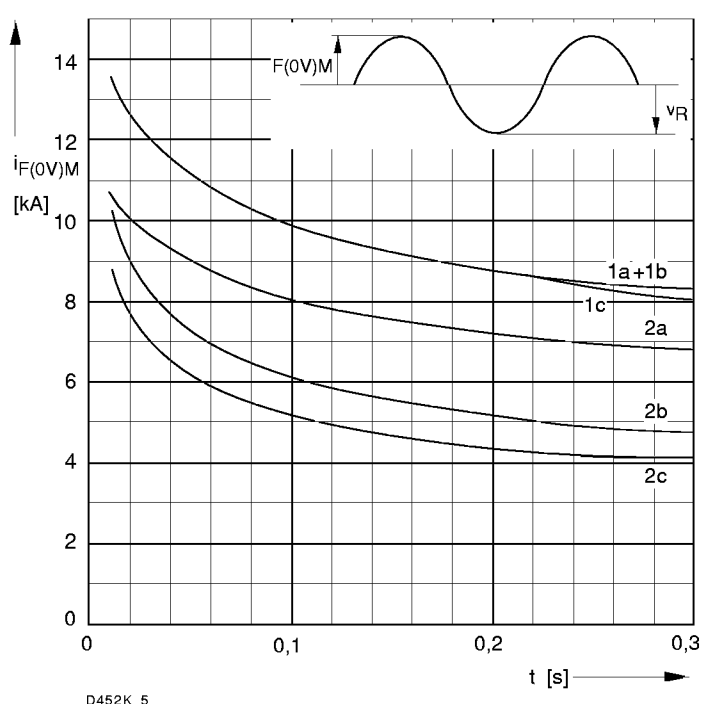


Bild / Fig. 3
Grenzstrom / Maximum overload forward current $i_{F(0V)M} = f(t)$

1 - $i_{FAV(vor)} = 0 \text{ A}; t_{vj} = t_c = 25^\circ\text{C}$
2 - $i_{FAV(vor)} = \text{A}; t_c = {}^\circ\text{C}; t_{vj} = {}^\circ\text{C}$
a - $VR \leq 50 \text{ V}$
b - $VR = V_{RRM}$
c - $VR = 0,8 V_{RRM}$

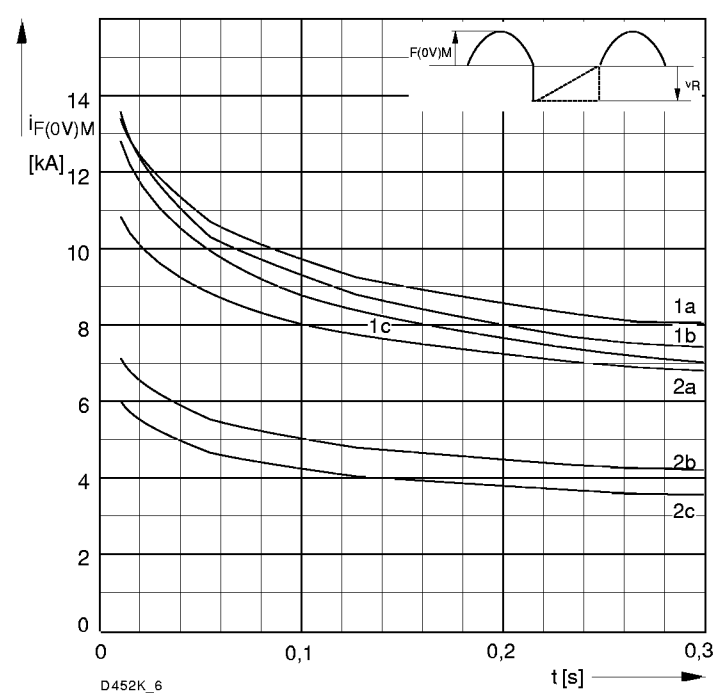


Bild / Fig. 4
Grenzstrom / Maximum overload forward current $i_{F(0V)M} = f(t)$

1 - $i_{FAV(vor)} = 0 \text{ A}; t_{vj} = t_c = 25^\circ\text{C}$
2 - $i_{FAV(vor)} = \text{A}; t_c = {}^\circ\text{C}; t_{vj} = {}^\circ\text{C}$
a - $VR \leq 50 \text{ V}$
b - $VR = 0,5 V_{RRM}$
c - $VR = 0,8 V_{RRM}$

D452K

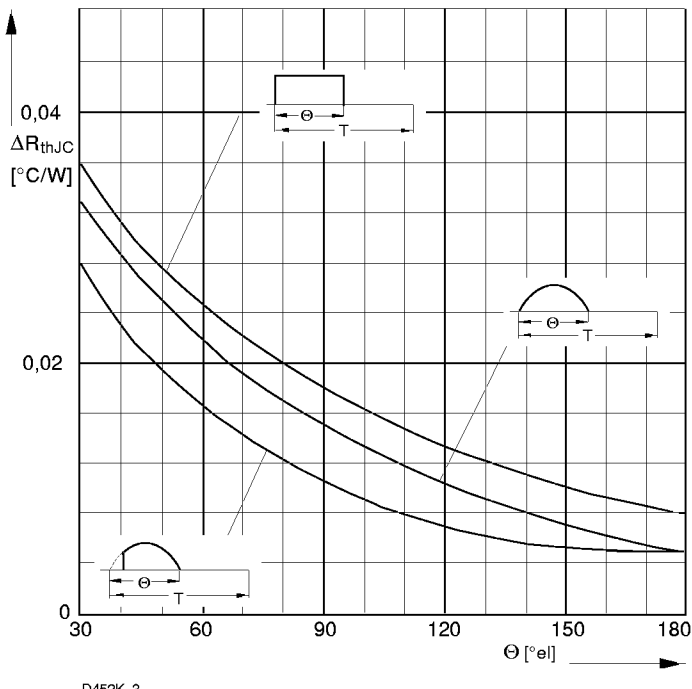


Bild / Fig. 5
Differenz zwischen den Wärmewiderständen
für Pulsstrom und DC
Difference between the values of thermal resistance for
pulse current and DC
Parameter: Stromkurvenform / Current waveform

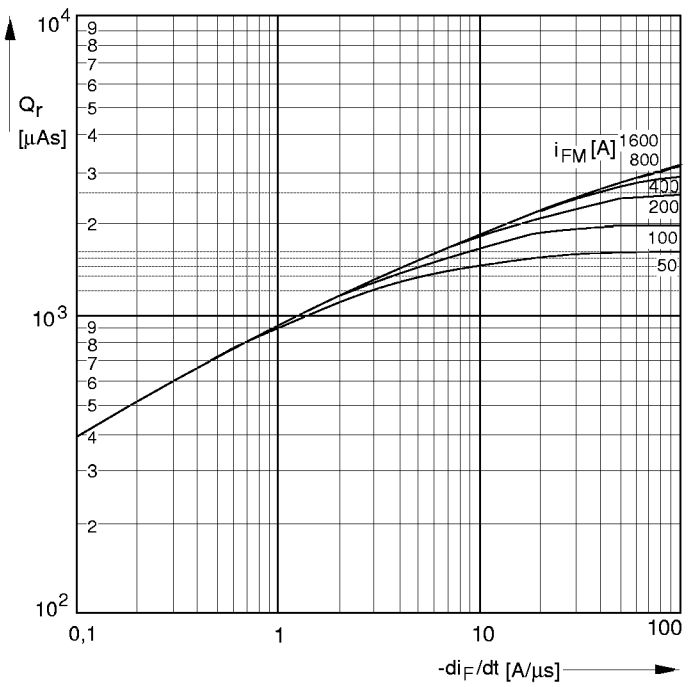


Bild / Fig. 6
Sperrverzögerungsladung / Recovered charge $Q_r = f(-di/dt)$
 $t_{vj} = t_{vjmax}$; $V_R \leq 0,5 V_{RRM}$; $V_{RM} = 0,8 V_{RRM}$
Beschaltung / Snubber: $C = \mu F$; $R = \Omega$
Parameter: Durchlaßstrom / Forward current i_{FM}

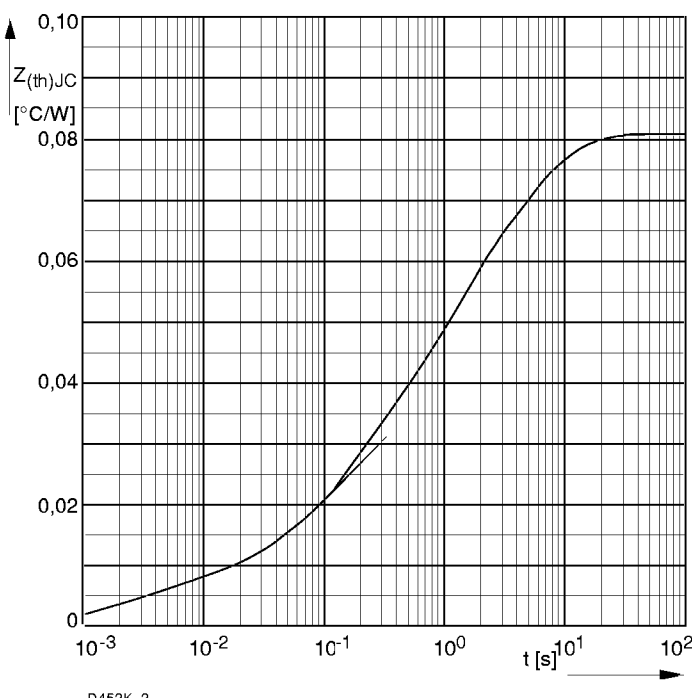


Bild / Fig. 7
Transienter innerer Wärmewiderstand
Transient thermal impedance $Z_{thJC} = f(t)$, DC
1 - Beidseitige Kühlung / Two-sided cooling
2 - Anodenseitige Kühlung / Anode-sided cooling
3 - Kathodenseitige Kühlung / Cathode-sided cooling

Analytische Elemente des transienten Wärmewiderstandes Z_{thJC} für DC
Analytical elements of transient thermal impedance Z_{thJC} for DC

Pos. n	1	2	3	4	5	6	7
R_{thn} °C/W	0,000114	0,003146	0,00934	0,0242	0,0762	0,195	0,112
τ_n [s]	0,000018	0,000282	0,00282	0,0132	0,265	1,2	7,57

Analytische Funktion / Analytical function:

$$Z_{thJC} = \sum_{n=1}^{n_{\max}} R_{thn} (1 - \text{EXP}(-t/\tau_n))$$